

БЛИЖНИЙ ПОРЯДОК, КРУПНОМАСШТАБНЫЕ ФЛУКТУАЦИИ ПОТЕНЦИАЛА И ФОТОЛЮМИНЕСЦЕНЦИЯ В АМОРФНОМ SiN_x

B. A. Гриценко, Д. В. Гриценко, Ю. Н. Новиков*

*Институт физики полупроводников
630090, Новосибирск, Россия*

*P. B. M. Kwok ***

*Department of Chemistry, the Chinese University of Hong Kong, Shatin
Hong Kong, China*

*И. Белло ****

*Department of Physics and Material Science, City University of Hong Kong,
Hong Kong, China*

Поступила в редакцию 12 сентября 2003 г.

С использованием высокоразрешающей рентгеновской фотоэлектронной спектроскопии изучен ближний порядок и электронная структура аморфного нитрида кремния $\text{SiN}_{x<4/3}$. Как модель случайной сетки, так и модель смеси фаз не описывают строения соединения SiN_x . Предложена промежуточная модель для описания его строения. Эта модель предполагает гигантские флуктуации потенциала для электронов и дырок, обусловленные локальными неоднородностями химического состава. Характерный масштаб флуктуаций потенциала для электронов и дырок составляет 1.5 эВ. Фотолюминесценция интерпретируется в рамках оптических переходов между квантовыми состояниями аморфных кремниевых кластеров.

PACS: 77.22.-d, 78.55.Qr

1. ВВЕДЕНИЕ

Аморфный нитрид кремния SiN_x , наряду с SiO_2 , является основным диэлектриком в современных кремниевых приборах. Нитрид кремния обладает эффектом памяти — способностью локализовать инжектированные в него электроны и дырки с гигантским временем удержания носителей заряда в локализованном состоянии (около 10 лет при 300 К) [1]. В настоящее время эффект памяти в нитриде кремния используется для разработки электрически перепрограммируемых постоянных запоминающих устройств гига- и терабитной емкости [2].

Существуют две альтернативные модели, описывающие структуру нестехиометрических тетраэдриче-

ских аморфных соединений (SiO_x , SiO_xN_y , SiN_x): модель случайной смеси фаз (random mixture, RM) и модель неупорядоченной случайной сетки (random bonding, RB) [3–17]. Модель RM подразумевает, что SiN_x состоит из двух фаз: аморфного кремния ($a\text{-Si}$) и Si_3N_4 , т. е. из тетраэдров SiSi_4 и SiN_4 [8, 10]. В модели RB предполагается, что структура SiN_x сформирована сеткой, состоящей из пяти сортов тетраэдров: $\text{SiN}_\nu\text{Si}_{4-\nu}$, где $\nu = 0, 1, 2, 3, 4$ [3, 4, 11, 12]. Поскольку аморфный SiN_x синтезируется в термодинамически неравновесных условиях, его атомная структура зависит от методов синтеза. Так, было установлено, что строение соединения SiN_x , полученного осаждением в плазме, описывается моделью RM [8]. В кремниевых приборах широко используется нитрид кремния SiN_x , синтезированный при высоких температурах пиролизом кремний- и азотсодержащих газов. В качестве кремнийсодержащих

*E-mail: grits@isp.nsc.ru

**R. W. M. Kwok

***I. Bello

газов используются силан SiH_4 , тетрахлорид кремния SiCl_4 и дихлорсилан SiH_2Cl_2 . В качестве азотсодержащего газа используется аммиак NH_3 . Пиролиз осуществляется при температурах 700–800 °С. В настоящее время строение (близкий порядок) соединения SiN_x , полученного пиролизом, не изучено.

Несмотря на то что эффект памяти в SiN_x изучается на протяжении более четверти века, природа ловушек, ответственных за локализацию электронов и дырок, остается неизвестной [1, 3]. Была высказана гипотеза о том, что в качестве ловушек для электронов и дырок в SiN_x выступают кремниевые кластеры [1]. В последнее время наблюдалась фотолюминесценция кремниевых квантовых точек в SiN_x , осажденном в плазме [17]. Можно предположить, что в SiN_x , полученном пиролизом, также могут существовать аморфные кремниевые квантовые точки, которые могут быть зарегистрированы с помощью экспериментов по фотолюминесценции. Целью настоящей работы является изучение близкого порядка, электронной структуры и фотолюминесценции нитрида кремния SiN_x , полученного пиролизом. На основе структурных исследований предложена модель крупномасштабных флуктуаций потенциала, обусловленных локальной неоднородностью химического состава SiN_x . Фотолюминесценция $\text{SiN}_{x \approx 4/3}$ интерпретируется в рамках модели квантовых переходов в аморфных кремниевых кластерах.

2. ОБРАЗЦЫ, ЭКСПЕРИМЕНТ

Образцы SiN_x получены методом химического осаждения в реакторе пониженного давления из смеси газов SiH_2Cl_2 и NH_3 при температуре 760 °С. Для получения образцов SiN_x с разным составом менялось соотношение SiH_2Cl_2 и NH_3 . В качестве подложки использовался Si (100) *p*-типа с удельным сопротивлением $\rho \approx 10 \text{ Ом} \cdot \text{см}$. На образцах $\text{SiN}_{x \approx 4/3}$, полученных разложением смеси SiH_4 , NH_3 и H_2 при 890 °С, изучалась люминесценция.

Рентгеновские фотоэлектронные спектры высокого разрешения изучались с помощью системы AXIS-HS Kratos с монохроматизированным источником излучения ($\text{AlK}\alpha$) с энергией 1486.6 эВ. Для удаления естественного окисла образцы обрабатывались 2 мин в растворе HF в метаноле в пропорции 1:30 и затем прополоскивались в метаноле. Перед измерением рентгеновских фотоэлектронных спектров образцы погружались в циклогексан с последующим обдуванием в сухом азоте. Все энергии

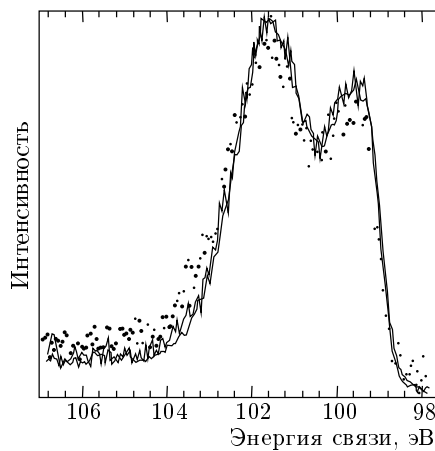


Рис. 1. Рентгеновские фотоэлектронные спектры $\text{SiN}_{0.51}$, измеренные при углах регистрации фотоэлектронов, равных 20° (точки), 45° и 90° (сплошные линии)

связи измерялись относительно 1s-пика углерода в циклогексане с энергией 285.0 эВ. В случае обнаружения большого положительного заряда для его компенсации использовался пучок медленных электронов. Все измерения рентгеновских фотоэлектронных спектров (за исключением экспериментов с угловым разрешением) выполнены при ориентации поверхности образца перпендикулярно направлению анализатора электронов (полярный угол равен нулю). Для того чтобы продемонстрировать, что рентгеновские спектры отражают объемные свойства SiN_x , мы изучали эти спектры с угловым разрешением на спектрометре Phi Quantum 2000. На рис. 1 показаны рентгеновские фотоэлектронные спектры 2p-уровней для $\text{SiN}_{0.51}$, измеренные при углах регистрации фотоэлектронов 20°, 45° и 90°. Слабая зависимость формы линии сигнала от угла указывает на то, что в эксперименте воспроизводятся объемные свойства SiN_x .

Для изучения SiN_x переменного состава (разные x) мы использовали близкий к стехиометрическому составу нитрид кремния (Si_3N_4) как эталонный образец, для того чтобы определить фактор относительной чувствительности линий 2p кремния и 1s азота. Этalonный образец получен из смеси газов SiCl_4 и NH_3 при 800 °С с соотношением $\text{SiCl}_4:\text{NH}_3 = 1 : 10$. Показатель преломления для эталонного образца имеет величину 1.96. Кроме того, эталонный образец имеет пик инфракрасного поглощения при 3330 см^{-1} , который связан с колебанием $\text{Si}_2\text{N}-\text{H}$. Рассчитанная концентрация связей N–H составила $2.1 \cdot 10^{21} \text{ см}^{-3}$. Таким образом, бы-

ло установлено, что эталонный образец имел состав $\text{SiN}_{1.41}\text{H}_{0.05}$.

Измерения рамановских спектров были выполнены с использованием спектрометра Renishaw RamanScope. В качестве источника использовался гелий-неоновый лазер ($\lambda = 6328 \text{ \AA}$). Измерения инфракрасных спектров пропускания выполнены на спектрометре Nicolet 550 с разрешением 4 cm^{-1} .

Измерения фотолюминесценции соединения $\text{SiN}_{x \approx 4/3}$ выполнены при комнатной температуре. Спектры нормировались на чувствительность системы регистрации. Толщина образцов определялась с помощью лазерного эллипсометра и составляла около 800 \AA . Спектры возбуждения фотолюминесценции измерялись с использованием дейтериевой лампы ДДС-400.

3. БЛИЖНИЙ ПОРЯДОК SiN_x ПО ДАННЫМ ФОТОЭЛЕКТРОННОЙ СПЕКТРОСКОПИИ

На рис. 2 представлены экспериментальные рентгеновские спектры уровня $2p$ кремния в SiN_x различного состава (точки). На всех спектрах видны особенности: два пика или один пик плюс «плечо». Подобные спектры были получены ранее в работах [7, 9, 13]. Применимость моделей RB и RM для SiN_x переменного состава в настоящей работе проверялась путем сравнения экспериментальных спектров уровня $2p$ кремния с результатами расчета.

Рассчитанные спектры с использованием модели RB приведены на рис. 2 (штриховая линия). Эта модель предполагает существование в нитриде кремния пяти сортов тетраэдров $\text{Si}_\nu\text{Si}_{4-\nu}$, $\nu = 0, 1, 2, 3, 4$. Вероятность найти тетраэдр заданного сорта ν описывается биноминальным распределением [6, 8]

$$W(\nu, x) = \left(\frac{3x}{4}\right)^\nu \left(1 - \frac{3x}{4}\right)^{4-\nu} \frac{4!}{\nu!(4-\nu)!}. \quad (1)$$

Идея использования пяти сортов тетраэдров при моделировании спектра $2p$ -уровня кремния основана на том, что вклад в химический сдвиг $2p$ -состояния кремния дают ближайшие атомы кремния и/или азота. Уравнение (1) предполагает отсутствие каких-либо точечных дефектов, например, связей $=\text{N}=\text{N}=$, «болтающихся» связей $\equiv\text{Si}\bullet$, $=\text{N}\bullet$ и водородных связей $\text{Si}-\text{H}$, $\text{N}-\text{H}$ в SiN_x . Символами « \rightarrow » и « \bullet » обозначены соответственно ковалентная связь и неспаренный электрон. Эксперименты по электронному парамагнитному резонансу

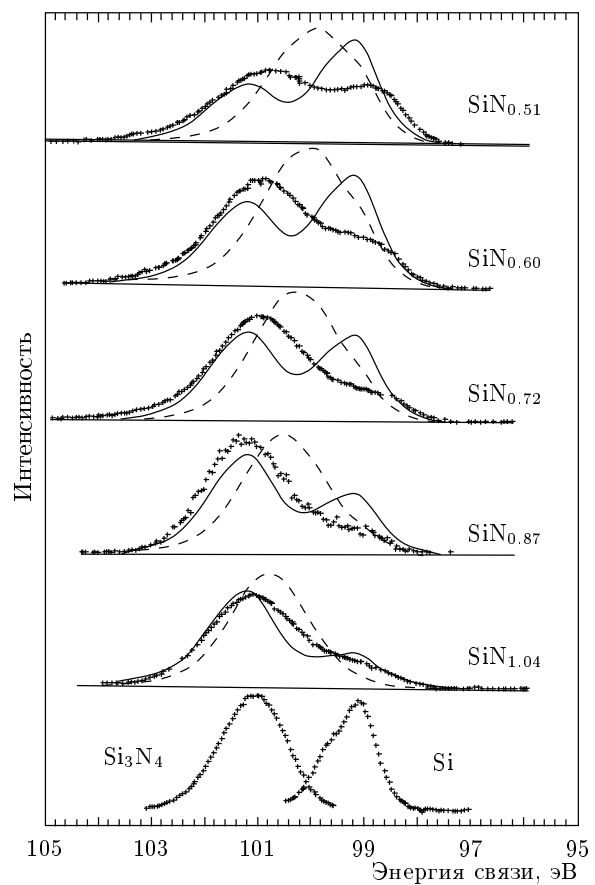


Рис. 2. Рентгеновские фотоэлектронные спектры $2p$ -уровня кремния в SiN_x различного состава (точки). Сплошными линиями представлены теоретические спектры для модели RM, штриховыми — для модели RB

(ЭПР) показали, что концентрация оборванных связей $\equiv\text{Si}\bullet$, $=\text{N}\bullet$ для исследуемых образцов SiN_x не превышает 10^{19} см^{-3} . Теоретическая свертка спектров $2p$ -уровня кремния выполнена с использованием программы XPSPEAK 4.1 [14]. При расчете теоретических спектров мы предполагали эквидистантное положение пиков, соответствующих тетраэдрам $\text{Si}_\nu\text{Si}_{4-\nu}$, $\nu = 0, 1, 2, 3, 4$ (одинаковое расстояние по энергии между пиками). Величина полуширины пика использовалась как одинаковая для всех пиков, так и линейно возрастающая, полученная экстраполированием полуширины пиков Si и Si_3N_4 . Расчеты показали, что согласно модели RB спектр $2p$ -уровня кремния в SiN_x имеет один пик (рис. 2). Энергия максимума пика смещается в область больших энергий при увеличении содержания азота в SiN_x .

Для общности мы также проверили примени-

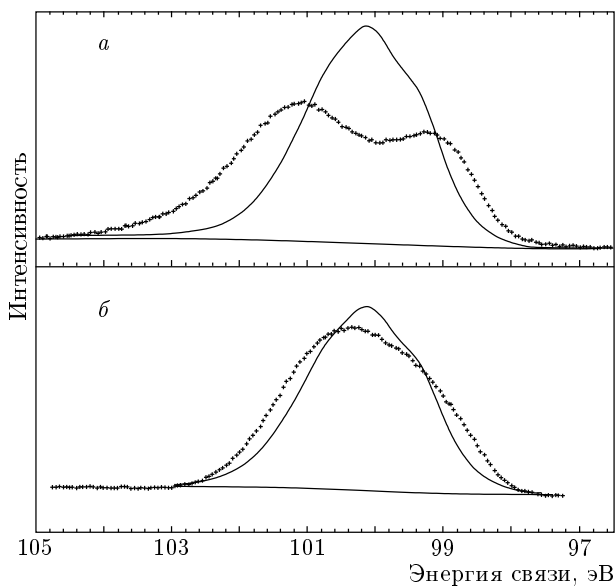


Рис. 3. Рентгеновские фотоэлектронные спектры 2p-уровня кремния в $\text{SiN}_{0.51}$ (точки) до (а) и после (б) облучения ионами Ar^+ с энергией 4 кэВ. Сплошной линией показаны расчеты с использованием модели RB

мость RB модели для описания строения разупорядоченного соединения SiN_x . Разупорядочение осуществлялось путем облучения образца $\text{SiN}_{0.51}$ пучком ионов Ar^+ с энергией 4 кэВ (рис. 3). Как видно на рис. 3а, строение исходного образца $\text{SiN}_{0.51}$ не описывается моделью RB. В эксперименте наблюдаются два пика, соответствующих, в первом приближении, тетраэдрам SiSi_4 и SiN_4 , в то время как модель предсказывает только один пик при энергии максимума, соответствующего тетраэдру SiN_2Si_2 (рис. 3б). После облучения атомы азота и кремния перемешиваются; наблюдается тенденция к образованию твердого раствора замещения (модель RB). В облученном образце $\text{SiN}_{0.51}$ наблюдается один пик, энергия максимума которого близка к рассчитанному значению для модели RB (рис. 3б).

Результаты моделирования спектров соединения SiN_x с использованием модели RM показаны на рис. 2 (сплошная линия). Рассчитанные с использованием этой модели спектры, в соответствии с экспериментом, отражают тенденцию уменьшения содержания кремниевой фазы при уменьшении содержания кремния в SiN_x . Однако модель RM количественно переоценивает содержание кремниевой фазы. Кроме того, модель RM предсказывает провал приблизительно посередине спектра, приведенного на рис. 2. В эксперименте такой «провал» наблю-

дается только для $\text{SiN}_{0.51}$. Для остальных образцов в эксперименте провал отсутствует.

Таким образом, модели как RB, так и RM не описывают количественно строения соединения SiN_x . Мы предлагаем промежуточную модель (intermediate model, IM), изображенную на рис. 4. Такая модель предполагает наличие отдельных фаз кремния (тетраэдр SiSi_4) и Si_3N_4 (тетраэдр SiN_4), а также субнитридов, состоящих из тетраэдров SiN_3Si , SiN_2Si_2 , SiNSi_3 . Модель IM предполагает локальную (в пространстве) флуктуацию химического состава соединения SiN_x . Более детально модель IM будет рассмотрена в разд. 6.

4. ИЗБЫТОЧНЫЙ КРЕМНИЙ В SiN_x ПО ДАННЫМ РАМАНОВСКОГО РАССЕЯНИЯ

Данные, полученные из рентгеновских фотоэлектронных спектров, не дают информации о пространственном распределении кремния в SiN_x . Химический сдвиг 2p-уровня кремния чувствителен к локальному химическому окружению, но не чувствителен к дальнему порядку. Поскольку связь Si–Si является неполярной, она не дает вклада в колебательные спектры инфракрасного поглощения. В то же время рамановская спектроскопия дает возможность регистрации избыточного кремния в SiN_x . Спектры рамановского рассеяния в образцах SiN_x переменного состава на кремниевой подложке показаны на рис. 5. Интенсивный пик при 520 см^{-1} обусловлен продольными оптическими фононами кремниевой подложки. Для образцов с низкой концентрацией азота ($x \leq 0.72$) наблюдается слабый пик в области 460 – 480 см^{-1} . Частота этого пика совпадает с частотой пика рамановского рассеяния в аморфном кремнии [18]. Ранее рамановское рассеяние на кремнии в SiN_x наблюдалось в работе [15]. Таким образом, рамановское рассеяние однозначно свидетельствует о наличии аморфных кремневых кластеров в SiN_x . Ширина запрещенной зоны для Si_3N_4 составляет 4.6 эВ . Однако в эксперименте наблюдается поглощение оптического излучения в Si_3N_4 при энергиях кванта, меньших ширины запрещенной зоны для Si_3N_4 [1]. Это поглощение можно отнести к поглощению света кремневыми кластерами в Si_3N_4 . О существовании кремневых кластеров в SiN_x также свидетельствуют эксперименты по фундаментальному поглощению, в которых наблюдалось длинноволновое поглощение с энергиями 1 – 2 эВ [16]. Кремневые кластеры с размерами 12 – 24 \AA в $\text{SiN}_x:\text{H}$ наблюда-

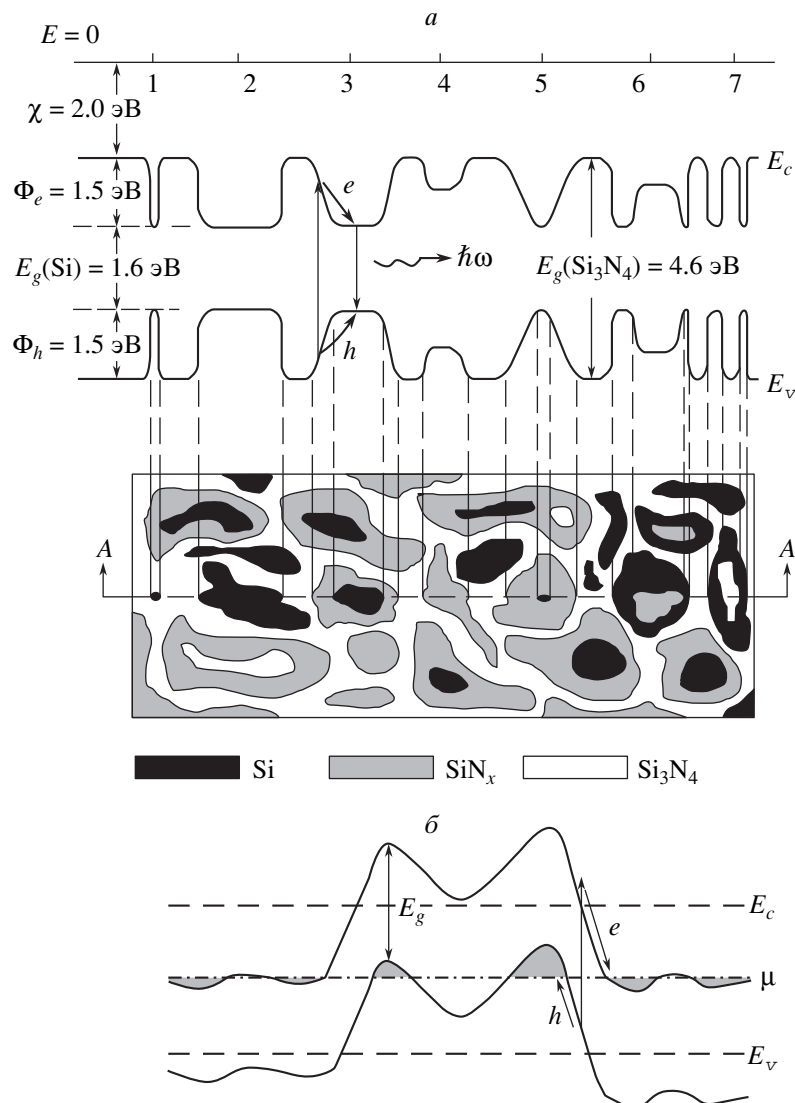


Рис. 4. а) Модель ИМ строения аморфного SiN_x . Внизу представлена двумерная картина строения SiN_x . Чёрным цветом показана кремниевая фаза, белым цветом — стехиометрический нитрид кремния Si_3N_4 , серым цветом — субнитриды. Вверху приведена энергетическая диаграмма соединения SiN_x для сечения $A-A$: E_c и E_v — соответственно дно зоны проводимости и вершина валентной зоны, Φ_e и Φ_h — барьеры соответственно для электронов и дырок на границе $a\text{-Si}/\text{Si}_3\text{N}_4$, E_g — ширина запрещенной зоны, χ — сродство к электрону. б) Схема флуктуаций потенциала Шкловского-Эфроса в сильнолегированном компенсированном полупроводнике (μ — уровень Ферми)

лись с помощью электронного микроскопа высокого разрешения [17, 19]. В $\text{SiN}_{x \geq 1.04}$ не наблюдается сигнал, связанный с рамановским рассеянием на кремниевых кластерах. Однако этот результат не исключает существования кремниевых кластеров. Отсутствие сигнала может быть связано с недостаточной чувствительностью аппарата из-за малых размеров кластеров, их низкой концентрации и малой толщины пленки (около 1000 Å).

5. ОПРЕДЕЛЕНИЕ БАРЬЕРА ДЛЯ ДЫРОК НА ГРАНИЦЕ $\text{Si}/\text{Si}_3\text{N}_4$ ПО ДАННЫМ ФОТОЭЛЕКТРОННОЙ СПЕКТРОСКОПИИ

Для изучения валентных зон соединений Si_3N_4 , SiN_x и аморфного кремния ($a\text{-Si}$) были измерены рентгеновские фотоэлектронные спектры этих зон. Аморфный кремний был получен облучением кристаллического кремния пучком ионов

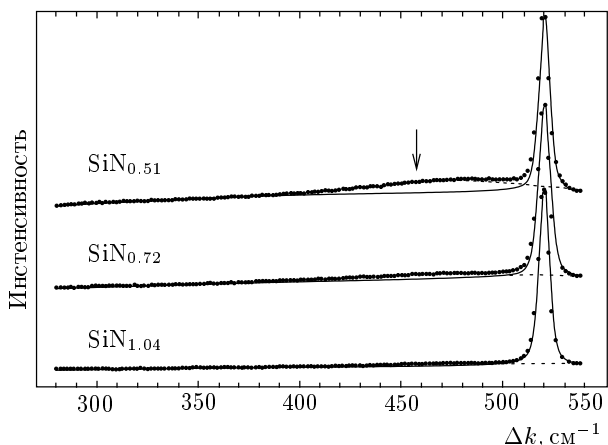


Рис. 5. Рамановские спектры образцов $\text{SiN}_{1.04}$, $\text{SiN}_{0.72}$, $\text{SiN}_{0.51}$ на кремниевой подложке. Пики при энергии 520 см^{-1} соответствуют рассеянию в кремниевой подложке. Стрелкой указано рассеяние на аморфных кремниевых кластерах

Ar^+ с энергией 4 кэВ. Валентная зона соединения Si_3N_4 состоит из двух подзон, разделенных ионной щелью (рис. 6а). Узкая нижняя подзона сформирована $2s$ -орбиталями азота с примесью $3s$ - и $3p$ -орбиталей кремния [3]. Верхняя широкая подзона сформирована несвязующими $2p_\pi$ -орбиталями азота и связующими $3s$ -, $3p$ -, $3d$ -орбиталями кремния и $2p$ -орбиталями азота [20]. Кроме того, для валентных зон нитридов кремния Si_3N_4 , $\text{SiN}_{1.04}$, аморфного кремния и золота на рис. 6б приведены рентгеновские фотоэлектронные спектры высокого разрешения. За начало отсчета спектров валентных зон принято положение верха валентной зоны золота.

Спектральные особенности валентной зоны в $\text{SiN}_{1.04}$ схожи с таковыми в Si_3N_4 за исключением вершины валентной зоны (рис. 6б). На вставке представлены увеличенные рентгеновские спектры вблизи верха валентной зоны. Положения верха валентной зоны в $a\text{-Si}$ и Au совпадают. Работа выхода для Au составляет 5.1 эВ. Следовательно, верх валентной зоны в $a\text{-Si}$ отстоит на величину 5.1 эВ от уровня электрона в вакууме. Верх валентной зоны в Si_3N_4 отстоит от верха валентной зоны в $a\text{-Si}$ на 1.5 эВ (рис. 6б). Таким образом, барьер для дырок на границе $a\text{-Si}/\text{Si}_3\text{N}_4$ составляет 1.5 эВ.

6. МОДЕЛЬ КРУПНОМАШТАБНЫХ ФЛУКТУАЦИЙ ПОТЕНЦИАЛА В SiN_x , ОБУСЛОВЛЕННЫХ ПРОСТРАНСТВЕННОЙ НЕОДНОРОДНОСТЬЮ СОСТАВА

По данным рентгеновских фотоэлектронных спектров соединение SiN_x состоит из Si_3N_4 , субнитридов кремния и аморфного кремния. Нитрид кремния состоит из тетраэдров SiN_4 , субнитриды кремния — из тетраэдров Si_3Si , Si_2Si_2 , SiNSi_3 , аморфный кремний — из тетраэдров SiSi_4 . Ширина запрещенной зоны соединения Si_3N_4 составляет 4.6 эВ, аморфного кремния — 1.6 эВ [19, 21], а субнитридов кремния — 1.6–4.6 эВ. Таким образом, ширина запрещенной зоны соединения SiN_x меняется в диапазоне 1.6–4.6 эВ. Согласно данным предыдущего раздела, максимальный масштаб флуктуаций потенциала для дырок составляет 1.5 эВ. Поскольку ширина запрещенной зоны аморфного кремния равна 1.6 эВ, величина барьера для электронов на границе $a\text{-Si}/\text{Si}_3\text{N}_4$ составляет 1.5 эВ. Таким образом, максимальный масштаб флуктуаций потенциала для электронов в SiN_x равен 1.5 эВ.

Выше на рис. 4а представлена модель крупномасштабных флуктуаций потенциала, обусловленных локальными флуктуациями химического состава соединения SiN_x . Внизу изображена двумерная модель строения SiN_x . Приведены все возможные варианты локального (пространственного) строения нитрида кремния SiN_x . Вверху на рис. 4а представлена энергетическая диаграмма соединения SiN_x для сечения A–A. Прямая линия на рис. 4а обозначает начало отсчета энергии электрона (энергия вакуума). Уменьшение ширины запрещенной зоны E_g свидетельствует о наличии субнитридной фазы в нитриде кремния. Наименьшая ширина запрещенной зоны ($E_g = 1.6 \text{ эВ}$) соответствует кремниевой фазе. В нашей модели на рис. 4а края зон субнитридов кремния представлены плавными линиями. Это предполагает плавное изменение химического состава на границе между кремниевым кластером и матрицей Si_3N_4 . Полученные нами экспериментальные данные не позволяют оценить пространственный размер переходной области. Мы предполагаем, что ее размер может составлять десятки ангстрем.

Цифрой «1» на рис. 4а обозначен «квантовый» кластер размером L порядка де-бройлевской длины волны квазисвободного электрона в кремниевом кластере, окруженном матрицей Si_3N_4 . Энергия основного состояния в таком кластере задается

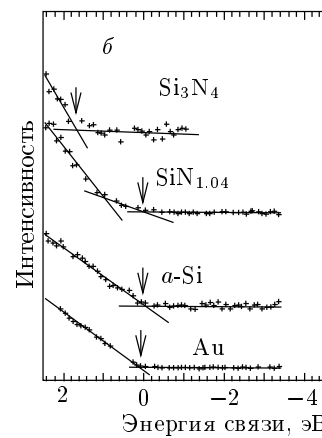
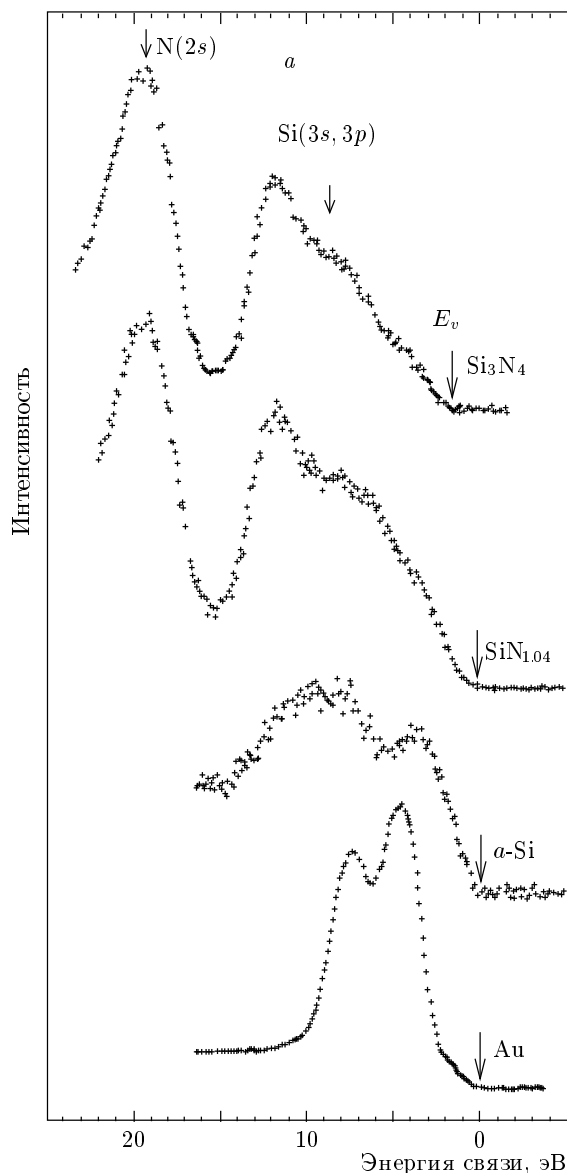


Рис. 6. а) Рентгеновские фотоэлектронные спектры валентной зоны образцов Si_3N_4 , $\text{SiN}_{1.04}$, $a\text{-Si}$ и Au . Стрелками указано положение верха валентной зоны. б) Спектры верха валентной зоны с более высоким разрешением

выражением $E = \hbar^2/2mL^2$, где m — эффективная масса электрона. Цифрой «2» обозначен кремниевый кластер большого размера, окруженный Si_3N_4 . В этом случае отсутствует переходный слой субнитридов кремния и на энергетической диаграмме граница $\text{Si}/\text{Si}_3\text{N}_4$ является резкой. В таком кластере не наблюдается квантование энергии электронов и дырок. Цифрой «3» обозначен макроскопический кластер кремния в субнитриде кремния. В этом случае на энергетической диаграмме переход от кремния к Si_3N_4 изображен плавной линией. Здесь и далее предполагается, что размер переходной области (субнитриды кремния) существенно превышает длины связей $\text{Si}-\text{N}$ и $\text{Si}-\text{Si}$, которые составляют величины

чины соответственно 1.72 \AA и 2.35 \AA . Цифрой «4» обозначен кластер субнитрида кремния в нитриде кремния, цифрой «5» — «квантовый» кремниевый кластер в субнитриде кремния, цифрой «6» — кластер субнитрида в кремнии, цифрой «7» — кластер нитрида кремния в кремнии. Таким образом, локальные флуктуации химического состава нитрида кремния SiN_x приводят к крупномасштабным пространственным флуктуациям потенциала для электронов и дырок. Ранее подобная модель крупномасштабных флуктуаций потенциала была предложена для Si:H [22], SiC:H [23], $\text{SiC}_x\text{O}_z:\text{H}$ [24] и SiO_x [25]. При возбуждении электронно-дырочной пары в субнитриде кремния электрическое поле для электрона и дырки направлено в одну сторону и способствует, как видно на рис. 4а, их рекомбинации. В случае излучательного механизма рекомбинации SiN_x является эффективной излучательной средой.

На рис. 4б представлена модель Шкловского-Эфроса крупномасштабных флуктуаций потенциала в сильнолегированном компенсированном полупроводнике [26]. В этой модели ширина запрещенной зоны постоянна, а флуктуации потенциала возникают за счет неоднородного пространственного распределения заряженных ионизованных доноров и акцепторов. Возбуждение электронно-дырочной пары приводит к пространственному разделению электронов и дырок, что не способствует их рекомбинации.

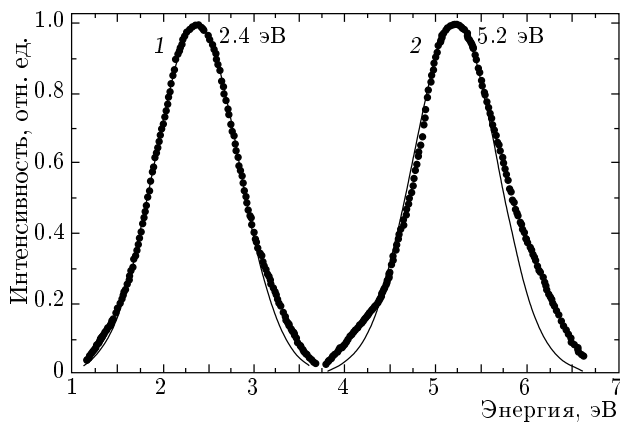


Рис. 7. Спектры фотолюминесценции (1) и возбуждения линии фотолюминесценции (2) для $\text{SiN}_{x \approx 4/3}$ при комнатной температуре. Точками показаны экспериментальные данные, сплошной линией — гауссовская аппроксимация

7. ФОТОЛЮМИНЕСЦЕНЦИЯ НИТРИДА КРЕМНИЯ SiN_x

На рис. 7 представлен спектр фотолюминесценции нитрида кремния $\text{SiN}_{x \approx 4/3}$, близкого по составу к стехиометрическому, при возбуждении квантами с энергией 5.2 эВ. Пик фотолюминесценции имеет энергию максимума $E_L = 2.4$ эВ. Аппроксимация пика гауссовой кривой дает ширину на полувысоте 0.92 эВ. На этом же рисунке представлен спектр возбуждения линии фотолюминесценции с энергией 2.4 эВ. Максимум возбуждения наблюдается при энергии кванта $E_E = 5.2$ эВ. Спектр возбуждения фотолюминесценции, аппроксимированный гауссовой функцией, имеет ту же ширину на полувысоте (0.92 эВ), что и спектр фотолюминесценции. Отклонение спектра фотолюминесценции и спектра возбуждения от гауссовой линии обусловлено, по-видимому, ошибками эксперимента. В последнее время наблюдались спектры фотолюминесценции в нитриде кремния SiN_x и оксинитриде кремния SiO_xN_y переменного состава в диапазоне энергий 2.2–2.8 эВ [27–32]. Максимум возбуждения фотолюминесценции с энергией 5.2 эВ наблюдался в работах [27, 30]. В работах [17, 19] исследовались спектры оптического поглощения и фотолюминесценции аморфных кремниевых кластеров, помещенных в матрицу Si_3N_4 . В этих работах наблюдалось квантование электронного и дырочного спектров в квантовых точках (quantum confinement). В [17] была определена энергия пика фотолюминесценции в зависимости от размера аморфных кремниевых кластеров.

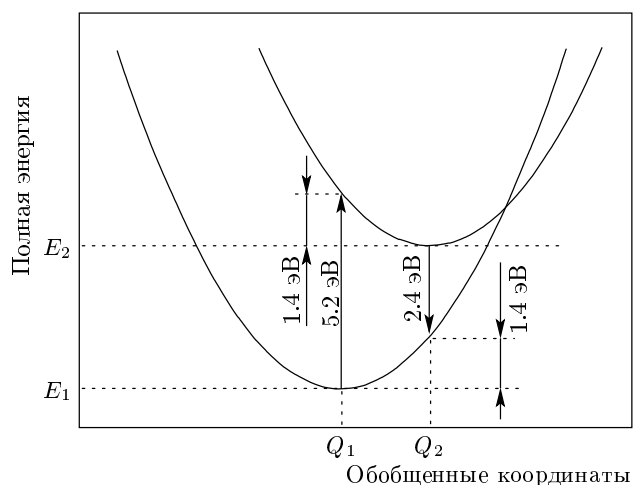


Рис. 8. Конфигурационная диаграмма дефекта по данным фотолюминесценции. Нижний терм обозначает энергию основного состояния, верхний — возбужденного. Энергии 5.2 и 2.4 эВ соответствуют оптическим переходам при возбуждении и люминесценции, энергия 1.4 эВ (энергия полярона) — франк-кондоносовскому сдвигу

Уменьшение размера кремниевых кластеров от 2.9 до 13 Å приводит к сдвигу пика люминесценции от 1.8 до 2.7 эВ. Энергия фотолюминесценции 2.4 эВ, наблюданная нами, согласно рис. 1 из [17], соответствует размеру кремниевого кластера, равному 17 Å. На рис. 8 представлена конфигурационная диаграмма дефекта для случая сильной электрон-фононной связи, построенная по данным фотолюминесценции и возбуждения фотолюминесценции. Величина франк-кондоносовского сдвига (энергия полярона) W_t в соответствии с рис. 8 равна половине стоксовского сдвига: $W_t = (E_E - E_L)/2 = 1.4$ эВ.

Ширина спектра фотолюминесценции на полувысоте, Δ , связана с энергией фонона W_{ph} в одномодовом приближении соотношением

$$\Delta = 8W_t W_{ph} \ln 2.$$

Энергия фонона, определенная из этого соотношения, составляет $W_{ph} = 109$ эВ. Фактор Хунга-Риса равен $W_t/W_{ph} = 12.7$. Полученная энергия фонона существенно больше энергии фонона в аморфном кремнии, равной 60 мэВ [33]. При этом экспериментально определенная энергия фонона совпадает с энергией колебаний связей Si—N в аморфном Si_3N_4 (900 см^{-1} , 110 мэВ) [3]. Полученный результат можно объяснить большим отношением поверхности к объему кремниевого кластера. Таким образом, взаимодействие возбужденной электрон-

но-дырочной пары связано с локальными колебаниями связей Si–N на границе между кремниевым кластером и Si_3N_4 . Ранее сильное взаимодействие возбужденной электронно-дырочной пары в кремниевых нанокластерах, погруженных в SiO_2 , изучалось при наблюдении колебания связи Si–O при низких температурах [34, 35]. Таким образом, согласно предлагаемой интерпретации, люминесценция с энергией 2.4 эВ связана с оптическими переходами в аморфных кремниевых кластерах диаметром 1.7 Å.

8. ОБСУЖДЕНИЕ РЕЗУЛЬТАТОВ

Аморфный нитрид кремния SiN_x может быть изготовлен только в термодинамически неравновесных условиях. Структура и электронные свойства этого соединения зависят от условий приготовления, таких как температура и давление газов, и условия последующего высокотемпературного отжига [1]. В настоящей работе исследовались образцы SiN_x , полученные при высокой температуре. Строение исследованных образцов описывается моделью IM. При облучении ионами таких образцов наблюдается тенденция приближения к модели RB. При уменьшении температуры осаждения (синтез в плазме) структура соединения SiN_x описывается моделью RM [8].

Ранее было показано, что модель IM описывает структуру аморфного оксида кремния SiO_x [25], которая схожа со структурой SiN_x и тоже зависит от условий приготовления. Например, при одинаковом химическом составе оптическая ширина запрещенной зоны в $\text{SiO}_{1.94}$ может изменяться в диапазоне от 5.0 до 7.5 эВ [36]. Отметим, что строение оксинитрида кремния переменного состава SiO_xN_y , в отличие от SiN_x и SiO_x , количественно описывается моделью RB [37, 38].

Принципиальное различие между предложенной моделью крупномасштабных флюктуаций потенциала в SiN_x и моделью Шкловского–Эфроса для компенсированных полупроводников состоит в следующем.

1. Крупномасштабные флюктуации потенциала в компенсированных полупроводниках имеют электростатическую природу, связанную с пространственными флюктуациями зарядовой плотности доноров и акцепторов. Величина запрещенной зоны является постоянной (см. рис. 4б); электрическое поле, обусловленное пространственными флюктуациями потенциала, способствует разделению электронов и дырок. В SiN_x флюктуации потенциала обусловлены локальными флюктуациями химического

состава. В нашей модели (см. рис. 4а), в отличие от модели Шкловского–Эфроса, отсутствует пространственный объемный заряд. Флуктуации потенциала способствуют рекомбинации электронов и дырок.

2. Низкочастотная диэлектрическая проницаемость в Si_3N_4 и Si составляет соответственно 7.0 и 11.8. Следовательно, в SiN_x существуют пространственные флуктуации диэлектрической проницаемости.

3. Согласно предлагаемой модели флюктуаций потенциала в SiN_x , этот материал может локализовать электроны и дырки в потенциальных ямах. Этот эффект экспериментально наблюдается в SiN_x [1]. Нитрид кремния SiN_x локализует инжектированные в него электроны и дырки с гигантским временем удержания в локализованном состоянии (порядка 10 лет при 300 К). Согласно предложенной модели, в SiN_x могут наблюдаться явления протекания электронов и дырок в крупномасштабном потенциале [25, 26].

Наличие кремниевых кластеров в SiN_x с большим избытком кремния подтверждается прямыми экспериментами по рамановскому рассеянию. Мы предполагаем, что в нитриде кремния, близком по составу к стехиометрическому ($\text{SiN}_{x \approx 4/3}$), избыточный кремний в экспериментах по рамановскому рассеянию не регистрируется из-за недостаточной чувствительности метода. Следующие экспериментальные данные доказывают существование избыточного кремния в $\text{SiN}_{x \approx 4/3}$.

1. В экспериментах по ЭПР в $\text{SiN}_{x \approx 4/3}$ наблюдаются сигнал с гиромагнитным фактором $g = 2.0055$, который принадлежит атому кремния с неспаренным электроном, связанным с тремя атомами кремния, $\equiv\text{Si}_3\text{Si}\bullet$ [39].

2. В экспериментах по спектроскопии потерь энергии медленных электронов в $\text{SiN}_{x \approx 4/3}$ наблюдались пики с энергией 3.2 и 5.0 эВ [40]. Энергии этих пиков совпадают с энергиями прямых переходов в кремнии [41].

3. Край фундаментального поглощения в почти стехиометрическом нитриде кремния $\text{SiN}_{x \approx 4/3}$ имеет величину 4.6 эВ [1, 42]. Однако с использованием фототермического поглощения в [16] наблюдалось поглощение в диапазоне 1.7–3.9 эВ. Этот эксперимент однозначно указывает на наличие избыточного кремния $\text{SiN}_{x \approx 4/3}$.

4. Транспорт электронов и дырок в нитриде кремния интерпретируется в рамках эффекта Френкеля, который состоит в понижении кулоновского потенциала в сильном электрическом поле [43, 44]. Однако в последнее время установлено, что интер-

претация переноса в рамках модели Френкеля при низких температурах приводит к нефизично малому значению частотного фактора $\nu \approx 10^9 \text{ с}^{-1}$ и аномально большому значению туннельной массы электрона $m^* = 5.0m_e$ [45]. Было установлено, что перенос заряда в нитриде кремния в широком диапазоне температур и полей количественно описывается теорией многофононной ионизации [45]. Термическая энергия ионизации ловушек составляет величину 1.4 эВ [46], что совпадает с энергией франк-кондоновского сдвига, определенной в настоящей работе. В [46] определена энергия локальных колебаний, равная 60 мэВ. Эта энергия совпадает с частотой колебаний атомов кремния в кремниевых кластерах. Эти данные независимо свидетельствуют в пользу того, что ловушками для электронов и дырок в нитриде кремния являются аморфные кремниевые кластеры.

Тем не менее в настоящей работе отсутствует прямое доказательство существования в нитриде кремния $\text{SiN}_{x \approx 4/3}$ аморфных кремниевых кластеров размером 17 Å. Ранее в наших работах [47, 48] высказывалась гипотеза о том, что ловушками в нитриде кремния являются минимальные кремниевые кластеры, а именно, связь Si–Si [47, 48]. В SiO_2 ранее [49] наблюдалась фотолюминесценция с энергией 4.4 эВ и энергией возбуждения 7.6 эВ, обусловленная переходами на связи Si–Si. Результаты настоящей работы не позволяют исключить, что связь Si–Si является центром, ответственным за люминесценцию с энергией 2.4 эВ, и ловушкой для электронов и дырок в нитриде кремния. Таким образом, для выбора между моделью аморфного кремниевого кластера и связью Si–Si требуются дальнейшие исследования.

9. ВЫВОДЫ

В настоящей работе методом высокоразрешающей фотоэлектронной и рамановской спектроскопии изучен близкий порядок в слоях обогащенного кремнием нитрида кремния SiN_x переменного состава. Установлено, что строение этого соединения не описывается ни моделью случайно связанной сетки атомов (RB), ни моделью смеси фаз Si и Si_3N_4 (RM). Предложена промежуточная модель (IM), согласно которой в SiN_x имеется пять сортов тетраэдров, однако вероятность обнаружения тетраэдров не описывается моделью RB. Флуктуации химического состава нитрида кремния SiN_x приводят к крупномасштабным флуктуациям потенциала. Измерены спектры фотолюминесценции и возбуждения лю-

минесценции. Результаты по фотолюминесценции интерпретируются в рамках модели оптических переходов в аморфных квантовых кремниевых кластерах. Величина франк-кондоновского сдвига, равная 1.4 эВ, совпадает с термической энергией ионизации ловушек в $\text{SiN}_{x \approx 4/3}$. Этот результат свидетельствует в пользу того, что электронными и дырочными ловушками в $\text{SiN}_{x \approx 4/3}$ являются аморфные квантовые кремниевые кластеры или минимальный кремниевый кластер (связь Si–Si).

Авторы благодарят В. В. Васильева за предоставленные экспериментальные данные по фотолюминесценции и обсуждения. Настоящая работа поддержана интеграционным проектом № 116 Сибирского отделения РАН и грантом Президиума РАН «Низкоразмерные квантовые структуры».

ЛИТЕРАТУРА

1. V. A. Gritsenko, in *Silicon Nitride in Electronics*, Elsevier Sci. Publ., Amsterdam (1988).
2. V. A. Gritsenko, K. A. Nasirov, Yu. N. Novikov et al., Sol. St. Electron. **47**, 1651 (2003).
3. В. А. Гриценко, *Строение и электронная структура аморфных диэлектриков в кремниевых МДП-структурках*, Наука, Новосибирск (1993).
4. R. Karcher, L. Ley, and R. L. Johnson, Phys. Rev. B **30**, 1896 (1984).
5. W. R. Knolle and J. W. Osenbach, J. Appl. Phys. **58**, 1248 (1985).
6. В. П. Болотин, И. А. Брытов, В. А. Гриценко и др., ДАН СССР **310**, 114 (1990).
7. E. Bustarret, M. Bensouda, M. C. Habrard et al., Phys. Rev. B **38**, 8171 (1988).
8. S. Hasegawa, L. He, T. Inokuma, and Y. Kurata, Phys. Rev. B **46**, 12478 (1992).
9. L. Kubler, R. Haung, E. K. Hill et al., J. Vac. Sci. Technol. A **4**, 2323 (1986).
10. G. Wiech and A. Simunek, Phys. Rev. B **49**, 5398 (1994).
11. H. R. Philipp, J. Non-Cryst. Sol. **8–10**, 627 (1972).
12. Z. Yin and F. W. Smith, Phys. Rev. B **42**, 3658 (1990).
13. G. M. Ingo, N. Zacchetti, D. Della Sala, and C. Coluzza, J. Vac. Sci. Technol. A **7**, 3048 (1989).

14. XPSPEAK 4.1, <http://www.phy.cuhk.edu.hk/~surface>.
15. V. A. Volodin, M. D. Efremov, and V. A. Gritsenko, *Appl. Phys. Lett.* **73**, 1212 (1998).
16. C. H. Seager and J. A. Knapp, *Appl. Phys. Lett.* **45**, 1060 (1984).
17. N.-M. Park, T.-S. Kim, and S.-J. Park, *Appl. Phys. Lett.* **78**, 2575 (2001).
18. F. Giorgis, *Appl. Phys. Lett.* **77**, 522 (2000).
19. N.-M. Park, C.-J. Choi, T.-Y. Seong, and S.-J. Park, *Phys. Rev. Lett.* **86**, 1355 (2001).
20. В. А. Гриценко, Ю. Н. Новиков, А. В. Шапошников, Ю. Н. Мороков, *ФТП* **35**, 1041 (2001).
21. D. J. Lockwood, Z. H. Lu, and J.-M. Baribeau, *Phys. Rev. Lett.* **76**, 539 (1996).
22. M. H. Brodsky, *Sol. St. Comm.* **36**, 55 (1980).
23. W.-J. Sah, H.-K. Tsai, and S.-C. Lee, *Appl. Phys. Lett.* **54**, 617 (1989).
24. R. Martins, G. Willeke, E. Fortunato et al., *J. Non-Cryst. Sol.* **114**, 486 (1989).
25. В. А. Гриценко, Ю. П. Костиков, Н. А. Романов, Письма в ЖЭТФ **34**, 3 (1981).
26. Б. И. Шкловский, А. Л. Эфрос, *Электронные свойства легированных полупроводников*, Наука, Москва (1979), с. 416.
27. V. V. Vasilev, I. P. Mikhailovskii, K. K. Svitashov, *Phys. Stat. Sol. (a)* **95**, K37 (1986).
28. K. J. Price, L. E. McNeil, A. Suvkanov et al., *J. Appl. Phys.* **86**, 2628 (1999).
29. K. S. Seol, T. Futami, T. Watanabe et al., *J. Appl. Phys.* **85**, 6746 (1999).
30. K. S. Seol, *Phys. Rev. B* **62**, 1532 (2000).
31. T. Noma, K. S. Seol, M. Fujimaki et al., *J. Appl. Phys.* **39**, 6587 (2000).
32. H. Kato, N. Kashio, Y. Ohki et al., *J. Appl. Phys.* **93**, 239 (2003).
33. F. Giorgis, C. Vinegoni, and L. Pavesi, *Phys. Rev. B* **61**, 4693 (2000).
34. Y. Kanemitsu, N. Shimitzu, T. Komoda et al., *Phys. Rev. B* **54**, 14329 (1996).
35. Y. Kanemitsu and S. Okamoto, *Phys. Rev. B* **58**, 9652 (1998).
36. T. W. Hickmott and J. E. Baglin, *J. Appl. Phys.* **50**, 317 (1979).
37. V. A. Gritsenko, J. B. Xu, R. W. M. Kwok et al., *Phys. Rev. Lett.* **81**, 1054 (1998).
38. V. A. Gritsenko, R. W. M. Kwok, H. Wong, and J. B. Xu, *J. Non-Cryst. Sol.* **297**, 96 (2002).
39. Y. Kamigaki, S. Minami, and H. Kato, *J. Appl. Phys.* **68**, 2211 (1990).
40. R. Hezel and N. Lieske, *J. Appl. Phys.* **53**, 1671 (1982).
41. Ю. Питер, М. Кардона, *Основы физики полупроводников*, Физматлит, Москва (2001).
42. V. A. Gritsenko, E. E. Meerson, and Yu. N. Morokov, *Phys. Rev. B* **57**, R2081 (1997).
43. S. M. Sze, *Physics of Semiconductor Devices*, Wiley, New York (1981).
44. В. А. Гриценко, Е. Е. Meerzon, И. В. Травков, Ю. В. Голтвянский, *Микроэлектроника* **16**, 42 (1987).
45. K. A. Nasyrov, V. A. Gritsenko, M. K. Kim, and H. S. Chae, *IEEE Electron. Dev. Lett.* **23**, 336 (2002).
46. K. A. Nasyrov, V. A. Gritsenko, and Yu. N. Novikov, submitted to *Phys. Rev. Lett.*
47. P. A. Pandur, J. G. Shavalgin, and V. A. Gritsenko, *Phys. Stat. Sol. (a)* **94**, K107 (1986).
48. V. A. Gritsenko, H. Wong, I. P. Petrenko et al., *J. Appl. Phys.* **86**, 3234 (1999).
49. C. M. Gee and M. Kastner, *Phys. Rev. Lett.* **42**, 1765 (1979).